

## Correction - Lois de base de la méca.

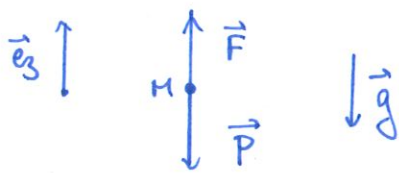
### Exercice 1

Réf: terrestre galiléen

Système: masse  $m$

Bilan des forces:

- poids  $\vec{P} = m\vec{g} = -m\vec{g}$
- frottement  $\vec{F} = F\vec{e}_3$



$$\text{On applique le PFD: } m \cdot \vec{a} = \vec{P} + \vec{F} \implies m \cdot (a) = -mg + F$$

↑  
projection selon  $\vec{e}_3$

$$\text{D'où } \underline{F = m(g-a)}$$

$$\text{AN: } F = 2 \times (9,8 - 3) = \underline{1,6 \text{ N}}$$

### Exercice 2

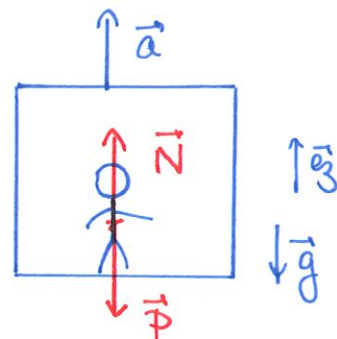
Réf: terrestre galiléen

Système: homme de masse  $m$

Bilan des forces:

- poids  $\vec{P} = -m\vec{g}$

- réaction du plancher de l'ascenseur:  $\vec{N} = N\vec{e}_3$



$$\text{On applique le PFD: } m\vec{a} = \vec{P} + \vec{N} \implies \text{selon } \vec{e}_3: ma = N - mg$$

$$\text{Donc } \underline{N = ma + mg}$$

Or  $\vec{F}$  = force de l'homme sur le plancher  
et  $\vec{N}$  = force du plancher sur l'homme

d'après le principe des actions réciproques:

$$\underline{\vec{F} = -\vec{N}}$$

$$\text{et donc } \|\vec{F}\| = \|\vec{N}\| = \underline{m(g+a)}$$

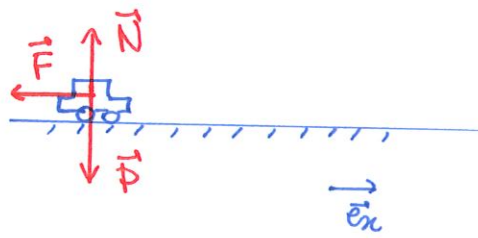
$$\text{AN: } \|\vec{F}\| = 80 \cdot (9,8 + 1) \simeq \underline{864 \text{ N}}$$

### Exercice 3

Réf : théorie galiléen

Système : voiture

- Bilan des forces :
- poids  $\vec{P}$
  - réaction de la route  $\vec{N}$
  - force de frottement  $\vec{F} = -h\vec{e}_x$



On applique le théorème de l'énergie cinétique entre les positions A (initial) et B (final, voiture à l'arrêt) tel que  $AB = d = \text{distance d'arrêt}$ .

$$\Delta E_C = \sum W_{A \rightarrow B}(\vec{F}) = \underbrace{W_{AB}(\vec{P})}_{=0} + \underbrace{W_{AB}(\vec{N})}_{=0} + W_{AB}(\vec{F})$$

car  $\vec{P}$  et  $\vec{N}$  sont orthogonaux au mouvement

$$W_{AB}(\vec{F}) = \int_A^B \vec{F} \cdot d\vec{l} = - \int_A^B h \vec{e}_x \cdot (dx \vec{e}_x) = -h \int_A^B dx = -h \cdot AB = -hd$$

Ainsi :  $\frac{1}{2}mv_B^2 - \frac{1}{2}mv_A^2 = -\frac{1}{2}mv_0^2 = -hd \Rightarrow d = \frac{mv_0^2}{2h}$

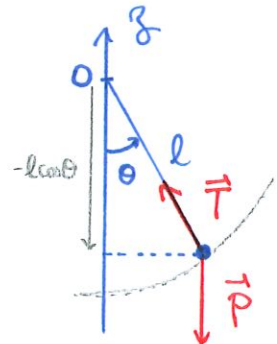
||  
0  
car  $v_B = 0$

### Exercice 4

Réf : théorie galiléen

Système : masse m

- Bilan des forces :
- tension du fil  $\vec{T}$
  - poids  $\vec{P}$



Le système est conservatif car  $\vec{P}$  est une force conservative et  $\vec{T}$  ne travaille pas. L'énergie mécanique est donc conservée.

$$\text{Or } E_m = E_C + E_P = \frac{1}{2}mv^2 + mgz + K \quad \text{avec } z = -l \cos \theta$$

On pose  $E_p(0)$  pour  $\theta = 0 \Rightarrow -mgl \cos(0) + K = 0 \Leftrightarrow K = mgl$

d'où  $E_m = \frac{1}{2}mv^2 + mgl(1 - \cos \theta)$

Or à  $t=0$  :  $v=v_0$  et  $\theta=0$  et à l'instant où il rebrousse chemin :  $v=0$  et  $\theta=\theta_0$

$$\text{D'où } \frac{1}{2}mv_0^2 + mgl(1 - \cos(0)) = \frac{1}{2}mv_0^2 + mgl(1 - \cos \theta_0) \Leftrightarrow \cos \theta_0 = 1 - \frac{v_0^2}{2gl}$$

$\Rightarrow \theta_0 = 37^\circ$

on aurait pu choisir  $K=0$  aussi!

## Exercice 5

1. Intéressons nous d'abord à la masse  $m_1$

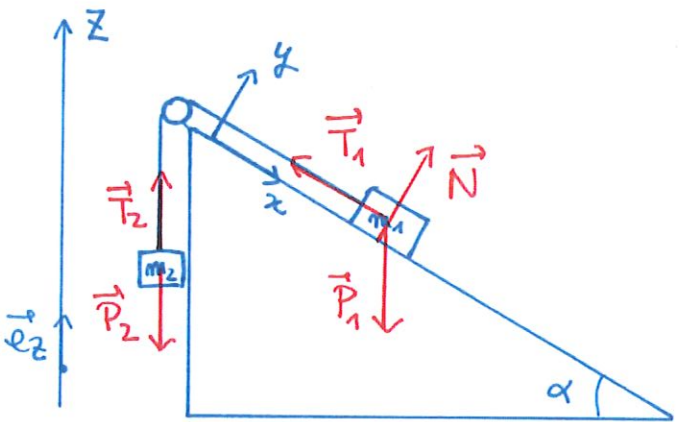
Bilan des forces sur  $m_1$

$$\rightarrow \text{poids } \vec{P}_1 = m_1 \vec{g}$$

$$\rightarrow \text{tension du fil } \vec{T}_1$$

$$\rightarrow \text{réaction du rapport } \vec{N}$$

(pas de réaction tangentielle, car pas de frottement)



Alors le PFD appliqué à  $m_1$  dans le réf. du laboratoire galiléen donne :

$$m_1 \vec{a}_1 = \vec{P}_1 + \vec{T}_1 + \vec{N}$$

\* projection de  $\vec{a}_1$ : comme le mouvement se fait uniquement selon l'axe  $\vec{e}_x$ ,

alors  $\vec{a}_1 = \ddot{x}_1 \vec{e}_x$ ,  $x_1(t)$  position de la masse  $m_1$  au cours du temps.

\* projection des forces:

$$\vec{P}_1 = m_1 g \sin \alpha \vec{e}_x - m_1 g \cos \alpha \vec{e}_y$$

$$\vec{T}_1 = -T_1 \vec{e}_x$$

$$\vec{N} = N \vec{e}_y$$

\* projection du PFD:

$$\left\{ \begin{array}{l} \text{selon } \vec{e}_x: m_1 \ddot{x}_1 = m_1 g \sin \alpha - T_1 \quad (*) \\ \text{selon } \vec{e}_y: 0 = -m_1 g \cos \alpha + N \quad (**) \end{array} \right.$$

$$\left\{ \begin{array}{l} \text{selon } \vec{e}_x: m_1 \ddot{x}_1 = m_1 g \sin \alpha - T_1 \quad (*) \\ \text{selon } \vec{e}_y: 0 = -m_1 g \cos \alpha + N \quad (***) \end{array} \right.$$

Maintenant appliquons le même raisonnement pour  $m_2$  :

Astuce : au lieu de s'embêter à utiliser le même repère que pour étudier la masse  $m_1$ , j'introduis un axe  $Z$  indépendant, de vecteur unitaire  $\vec{e}_z$ .

Bilan des forces sur  $m_2$

$$\rightarrow \text{poids : } \vec{P}_2 = m_2 \vec{g}$$

$$\rightarrow \text{tension du fil : } \vec{T}_2$$

Alors le PFD appliqué à la masse  $m_2$  dans le réf. terrestre galiléen donne :

$$m_2 \vec{a}_2 = \vec{P}_2 + \vec{T}_2$$

\* projection  $\vec{a}_2$ :  $m_2$  se déplace uniquement selon  $\vec{e}_z$ :

$\vec{a}_2 = \ddot{z} \vec{e}_z$ , où  $z(t)$  est l'altitude du point  $m_2$  au cours du temps.

\* projection des forces:  $\vec{P}_2 = -m_2 g \vec{e}_z$

$$\vec{T}_2 = T_z \vec{e}_z$$

\* projection des PFD: selon  $\vec{e}_z$ :  $m_2 \ddot{z} = -m_2 g + T_z$  (\*\*\*)

Or la tension du fil étant la même le long d'un fil:  $T_1 = T_2 = T$

$$(*) \text{ et } (***): \begin{cases} m_1 \ddot{x}_1 = m_1 g \sin \alpha - T \\ m_2 \ddot{z} = -m_2 g + T \end{cases}$$

$$\text{en sommant les deux: } \underline{m_1 \ddot{x}_1 + m_2 \ddot{z} = m_1 g \sin \alpha - m_2 g} \quad (\text{a})$$

Il manque une seconde équation pour déterminer  $\ddot{x}_1$  et  $\ddot{z}$ ! Nous n'avons pas encore écrit la condition d'inextensibilité du fil.

Cela a pour conséquence que la vitesse de  $m_1$  selon  $\vec{e}_x$  sera égale à la vitesse de  $m_2$  selon  $\vec{e}_z$ .

On peut l'expliquer en écrivant que:

si  $m_1$  se déplace de  $dx_1$  selon  $\vec{e}_x$

alors  $m_2$  se déplace de  $dz$  selon  $\vec{e}_z$

tel que  $dz = dx_1$

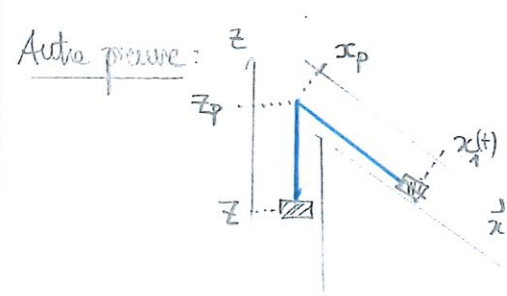
$$\Rightarrow \frac{dz}{dt} = \frac{dx_1}{dt}$$

$$\Rightarrow \dot{z} = \dot{x}_1 \text{ et donc } \ddot{z} = \ddot{x}_1 \quad (\text{b})$$

Ainsi, avec (b), (a) s'écrit:

$$(m_1 + m_2) \ddot{x}_1 = (m_1 \sin \alpha - m_2) g$$

$$\Rightarrow \ddot{x}_1 = \ddot{z} = \frac{m_1 \sin \alpha - m_2}{m_1 + m_2} g$$



Notons  $L$  la longueur du fil et  $z_p$  position de la poussière selon  $(0z)$

$$z_p = \text{cote} \quad (0z)$$

$$\text{alors } L = (z_p - z) + (z_1 - z_p)$$

longueur du fil selon  $\vec{e}_z$       longueur du fil selon  $\vec{e}_x$

Or le fil est inextensible, donc

$$L = \text{cote}$$

$$\Rightarrow \frac{dL}{dt} = 0 \Leftrightarrow -\dot{z} + \dot{z}_1 = 0 \Leftrightarrow \dot{z} = \dot{z}_1$$

Donc si  $m_1 \sin \alpha > m_2$ ,  $\ddot{x}_1$  et  $\ddot{z} > 0$

(la masse  $m_2$  remonte, et la masse  $m_1$  descend la pente)

si  $m_2 > m_1 \sin \alpha$ ,  $\ddot{x}_1$  et  $\ddot{z} < 0$

(la masse  $m_2$  descend et la masse  $m_1$  remonte la pente)

2. Prenons par exemple (\*\*\*) et injectons l'expression de  $\ddot{z}$  déterminée :

$$m_2 \left( \frac{m_1 \sin \alpha - m_2}{m_1 + m_2} g \right) = -m_2 g + T$$

$$\begin{aligned} \Rightarrow T &= m_2 g \frac{\frac{m_1 \sin \alpha - m_2}{m_1 + m_2}}{g} + m_2 g \\ &= m_2 g \left( \frac{\frac{m_1 \sin \alpha - m_2}{m_1 + m_2}}{g} + 1 \right) \end{aligned}$$

$$\underline{T = \frac{m_1 m_2 g}{m_1 + m_2} (1 + \sin \alpha)}$$

3. L'équation (\*\*) donne directement :  $\underline{N = m_1 g \cos \alpha}$

### Exercice 6

1. Voir schéma ci-contre.

Rq:  $\Delta \vec{e}_\theta$  tournant dans le sens des  $\Theta$  croissants

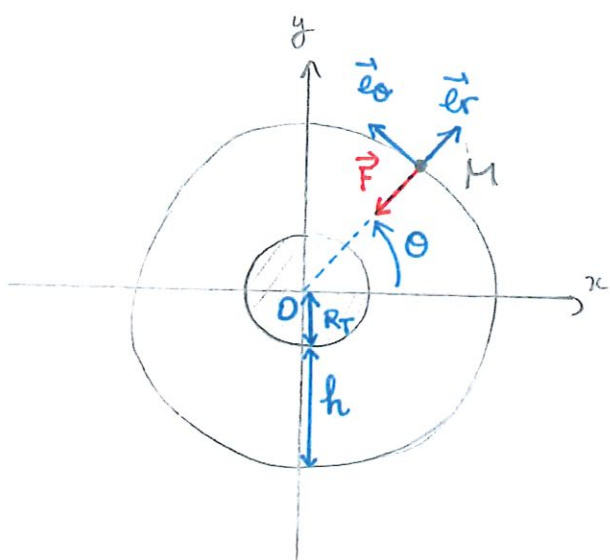
2.  $\underline{\vec{OM} = (R_T + h) \vec{e}_r}$

En dérivant par rapport au temps :

$$\vec{v} = \frac{d \vec{r}}{dt} = \frac{d}{dt} [(R_T + h) \vec{e}_r] = (R_T + h) \frac{d \vec{e}_r}{dt}$$

$$\Rightarrow \underline{\vec{v} = (R_T + h) \dot{\theta} \vec{e}_\theta}$$

3. En dérivant  $\vec{v}$  :  $\vec{a} = \frac{d \vec{v}}{dt} = \frac{d}{dt} [(R_T + h) \dot{\theta} \vec{e}_\theta] = \underline{(R_T + h) (\ddot{\theta} \vec{e}_\theta - \dot{\theta}^2 \vec{e}_r)}$



4. Réf: géocentrique galiléen

Système: satellite  $\mathbf{r}$

bilan des forces:  $\vec{F}$  force d'interaction gravitationnelle

$$\text{où } \vec{F} = -G \frac{m \cdot M_T}{(R_T+h)^2} \vec{er}$$

Le PFD n'est:  $m \vec{a} = \vec{F}$

PFD projeté:  $\left\{ \begin{array}{l} \text{selon } \vec{er}: -m(R_T+h)\dot{\Theta}^2 = -G \frac{m M_T}{(R_T+h)^2} \\ \text{selon } \vec{\Theta}: m(R_T+h)\ddot{\Theta} = 0 \end{array} \right. \quad (*)$

L'équation  $(**)$  donne  $\ddot{\Theta} = 0 \Rightarrow \dot{\Theta} = \text{cste}$

Le satellite a une vitesse de rotation constante.

or  $\|\vec{v}\| = (R_T+h)|\dot{\Theta}| = \text{cste}$

Donc le mouvement est uniforme.

5. Utilisons l'équation  $(*)$ :  $(R_T+h)\dot{\Theta}^2 = G \frac{M_T}{(R_T+h)^2}$

$$\text{or } (R_T+h)\dot{\Theta}^2 = \frac{v^2}{(R_T+h)}$$

d'où  $\frac{v^2}{R_T+h} = G \frac{M_T}{(R_T+h)^2} \Rightarrow v = \sqrt{\frac{GM_T}{R_T+h}}$

## Exercice 7

1. Réf: terrestre galiléen

Syst: masse  $m$

Bilan des forces:  $\vec{P}, \vec{N}$

Utilisons une approche énergétique.

\* Énergie cinétique :  $E_C = \frac{1}{2}mv^2$

\* Énergie potentielle :  $E_p = mgh + K$ , on choisit  $K=0$

(autrement dit on choisit  $E_p(0)=0$ )

\* Énergie mécanique :  $E_m = E_C + E_p = \frac{1}{2}mv^2 + mgh$

Or  $\delta W(\vec{N}) = 0$  car  $\vec{N}$  est constamment orthogonal au mouvement.

Donc  $E_m$  reste constante (le mouvement est conservatif !)

Or si la masse atteint A en  $t=t_A$ , alors

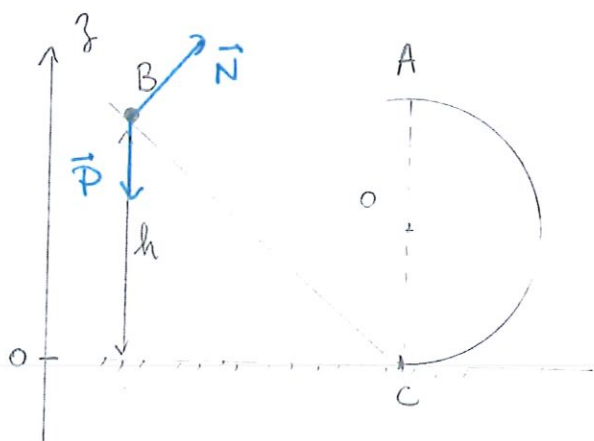
$$E_m(t=0) = E_m(t=t_A)$$

$$\Leftrightarrow \underbrace{\frac{1}{2}mv^2}_\text{vitesse initiale nulle} + mgh = \frac{1}{2}mv_A^2 + mg(2a)$$

vitesse initiale nulle

$$\text{D'où : } v_A^2 = 2g(h-2a) \Rightarrow v_A = \sqrt{2g(h-2a)}$$

$v_A$  n'est défini que si  $h > 2a$  (il faut que l'énergie mécanique initiale soit suffisante pour mener la masse jusqu'en A)



2. Pour déterminer  $N$ , impossible d'utiliser le théorème énergétique, car  $N$  ne travaille jamais. Il faut utiliser le PFD.

$$\text{Il s'écrit } m\vec{a} = \vec{P} + \vec{T}$$

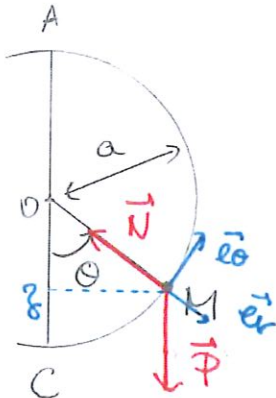
Et entre C et A; on utilise les coordonnées polaires  $(r, \theta)$  pour étudier le mouvement.

$$\vec{N} = -N\vec{e}_r$$

$$\vec{P} = mg \cos \theta \vec{e}_r - mg \sin \theta \vec{e}_\theta$$

$$\vec{a} = \frac{d\vec{v}}{dt} \quad \text{et} \quad \vec{\tau} = \frac{d\vec{r}}{dt} = \frac{d}{dt}(a\vec{e}_r) = a\dot{\theta}\vec{e}_\theta$$

$$\text{et alors } \vec{a} = a\ddot{\theta}\vec{e}_\theta - a\dot{\theta}^2\vec{e}_r$$



En projection, le principe fondamental de la dynamique donne :

$$\begin{cases} -ma\dot{\theta}^2 = -N + mg \cos \theta & (*) \\ ma\ddot{\theta} = -mg \sin \theta \end{cases}$$

$$\begin{aligned} (*) \text{ permet d'exprimer } N &= mg \cos \theta + ma\dot{\theta}^2 \\ &= mg \cos \theta + m \frac{\dot{\theta}^2}{a} \quad \text{car } |\vec{a}| = |a\dot{\theta}| \end{aligned}$$

Or grâce à l'étude énergétique, on avait  $\frac{1}{2}mv^2 + mgh = \text{cste} = mgh$

$$\text{et sur la portion circulaire } g = a(1 - \cos \theta)$$

$$\text{D'où } \frac{1}{2}mv^2 + mgha(1 - \cos \theta) = mgh$$

$$\Rightarrow v^2 = 2g(h - a(1 - \cos \theta))$$

$$\text{En réinjectant dans l'expression de } N: \quad N = mg \cos \theta + 2mg \left( \frac{h - a(1 - \cos \theta)}{a} \right)$$

$$\Rightarrow N = mg \left( 3 \cos \theta + 2 \frac{h - a}{a} \right)$$

3. Il faut que  $N > 0$  jusqu'à  $\theta = \pi$  (lorsque la bille est en A).  
Cela signifie que le contact est bien observé tout le long de la partie circulaire.

Donc  $N > 0$  à  $\theta = \pi$  s'écrit

$$\begin{aligned} mg \left( 3 \cos(\pi) + \frac{2h-a}{a} \right) &> 0 \\ \Leftrightarrow -3a + 2h - a &> 0 \\ \Leftrightarrow \underline{h > 2a} \end{aligned}$$

On retrouve la même condition qu'à la première question.

## Exercice 8

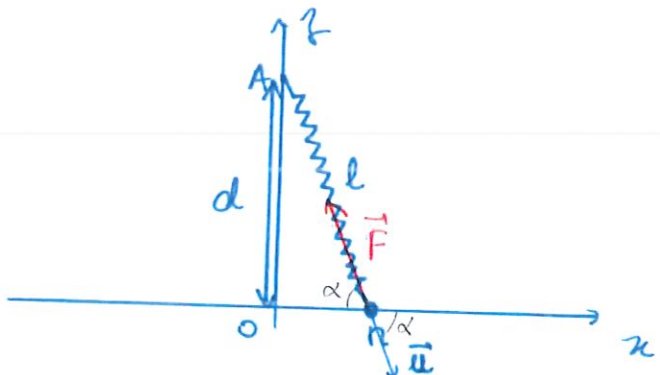
1. L'énergie potentielle du point matériel résulte de l'énergie potentielle élastique due au ressort.

Méthode 1 :

Sachant que  $E_p = \frac{1}{2}k(l-l_0)^2$

et  $l^2 = d^2 + x^2$

D'où  $\underline{E_p = \frac{1}{2}k(\sqrt{d^2+x^2} - l_0)^2}$



Méthode 2 :

Écrire la force  $\vec{F} = -k(l-l_0)\vec{u}$  et le déplacement élémentaire  $d\vec{u} = dx\vec{e}_x$

D'où  $\delta W = \vec{F} \cdot d\vec{u} = -k(l-l_0)dx \underbrace{\vec{u} \cdot \vec{e}_x}_{\cos \alpha}$  où  $\cos \alpha = \frac{x}{\sqrt{x^2+d^2}}$   
 $= -k(\sqrt{x^2+d^2} - l_0) \frac{x dx}{\sqrt{x^2+d^2}}$

Puis à intégrer ...

## \* Traçé de $E_p(x)$

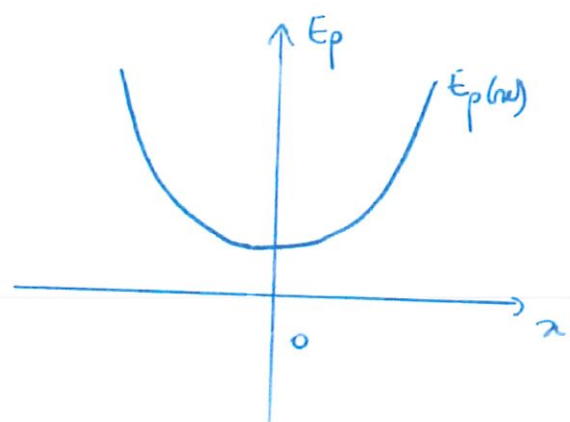
Calculons  $\frac{dE_p}{dx}$  pour déterminer son évolution :

$$\frac{dE_p}{dx} = \frac{1}{2} k \times 2(\sqrt{x^2+d^2} - l_0) \cdot \frac{2x}{2\sqrt{d^2+x^2}}$$

\* Si  $d > l_0$  :  $\sqrt{x^2+d^2} - l_0 > 0 \quad \forall x$  car  $d^2 > l_0^2 \Rightarrow x^2+d^2 > l_0^2 \Rightarrow \sqrt{x^2+d^2} > l_0$

donc  $\frac{dE_p}{dx}$  du signe de  $x$

et  $\frac{dE_p}{dx}$  s'annule en  $x=0$

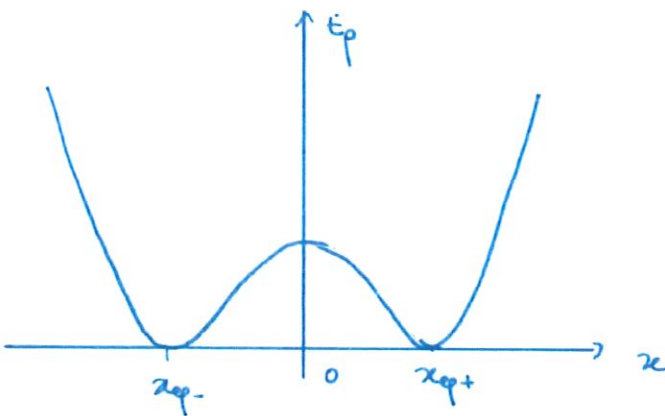


Vu que  $x_{ep}=0$  est un minimum de  $E_p$ ,  
c'est une position d'équilibre stable

\* Si  $d < l_0$  :

$x$	$-d$	$x_{ep-}$	$0$	$x_{ep+}$	$+d$
$x$	-		+		
$\sqrt{x^2+d^2} - l_0$	+	-	+		
$E_p(x)$		↓	↑	↓	↑

$\sqrt{x^2+d^2} - l_0$  s'annule en  
 $x_{ep\pm}$  tel que  
 $\sqrt{x^2+d^2} = l_0$   
 $\Leftrightarrow x^2 = l_0^2 - d^2$   
 $\Leftrightarrow x_{ep\pm} = \pm \sqrt{l_0^2 - d^2}$

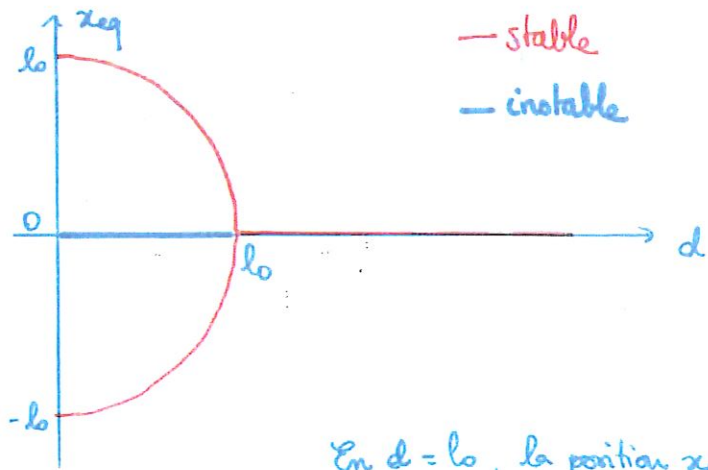


Il y a trois positions d'équilibres :

\*  $x_{ep}=0 \rightarrow$  instable  
(maximum d' $E_p$ )

\*  $x_{ep} = \pm \sqrt{l_0^2 - d^2} \rightarrow$  stable  
(minimum d' $E_p$ )

2.



En  $d = l_0$ , la position  $x_{eq} = 0$  passe d'une position d'équilibre stable à instable. Quand  $d$  décroît et arrive à  $d = l_0$ , le système doit choisir la position d'équilibre stable à mince. Il s'agit d'une brisure de symétrie.

## Exercice 9

1. Réf : fenêtre galiléen

Système : bille de masse  $m$

Bilan des forces : - poids  $\vec{P}$

- réaction du support  $\vec{R}_N$  normale

Projection des forces dans  $(\vec{e}_r, \vec{e}_\theta)$

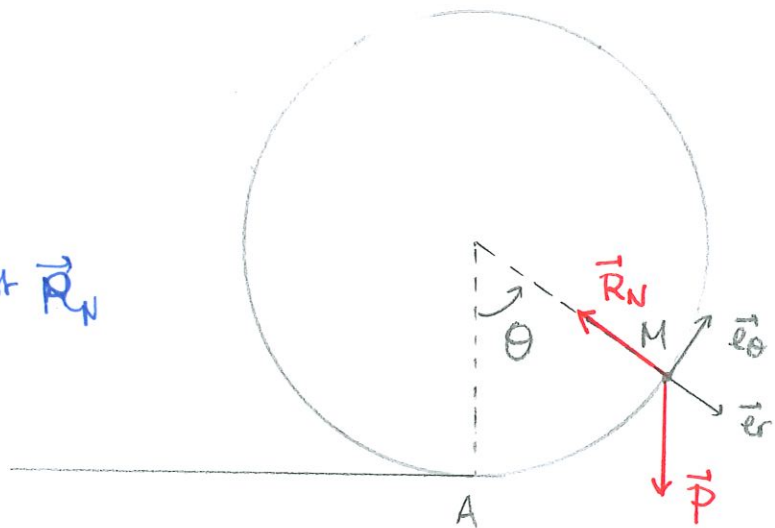
$$\vec{P} = mg \cos \theta \vec{e}_r - mg \sin \theta \vec{e}_\theta$$

$$- \vec{R}_N = - R \vec{e}_r$$

Expressions de  $\vec{\omega}$  et  $\vec{a}$  dans  $(\vec{e}_r, \vec{e}_\theta)$

$$\vec{\omega} = R \vec{e}_r \Rightarrow \vec{\omega} = R \dot{\theta} \vec{e}_\theta$$

$$\Rightarrow \vec{a} = R \ddot{\theta} \vec{e}_\theta - R \dot{\theta}^2 \vec{e}_r$$



a) Déterminer  $\Theta_a$  (cf exercice 4)

On utilise une approche énergétique. Comme la seule force qui travaille est une force conservative, l'énergie mécanique est conservée.

$$\text{Or } E_c = \frac{1}{2}mv^2 = \frac{1}{2}mR^2\dot{\theta}^2 \quad \text{et} \quad E_p = mgz = mg \cdot (-R \cos \theta)$$

$$\text{Ainsi } E_m = \frac{1}{2}mR^2\dot{\theta}^2 - mgR \cos \theta = \text{cste}$$

$$\text{Or en A : } E_m = \frac{1}{2}mV_0^2 - mgR \cos(0) = \frac{1}{2}mV_0^2 - mgR$$

$$\text{D'où } \frac{1}{2}mV_0^2 - mgR = \frac{1}{2}mR^2\dot{\theta}^2 - mgR \cos \theta$$

$$\Rightarrow \dot{\theta}^2 = \frac{V_0^2}{R^2} - \frac{2g}{R}(1 - \cos \theta)$$

$$\text{Or on cherche } \Theta_a \text{ où } \dot{\theta} = 0 \text{ (vitesse s'annule)}, \text{ d'où } \cos \Theta_a = 1 - \frac{V_0^2}{2gR}$$

b) Déterminer  $\Theta_d$

On utilise le PFD :  $m \vec{a} = \vec{P} + \vec{R}_N$

$$\text{cela donne selon } \vec{e}_r : m \cdot (-R\dot{\theta}^2) = mg \cos \theta - R_N$$

$$\Rightarrow R_N = mR\dot{\theta}^2 + mg \cos \theta$$

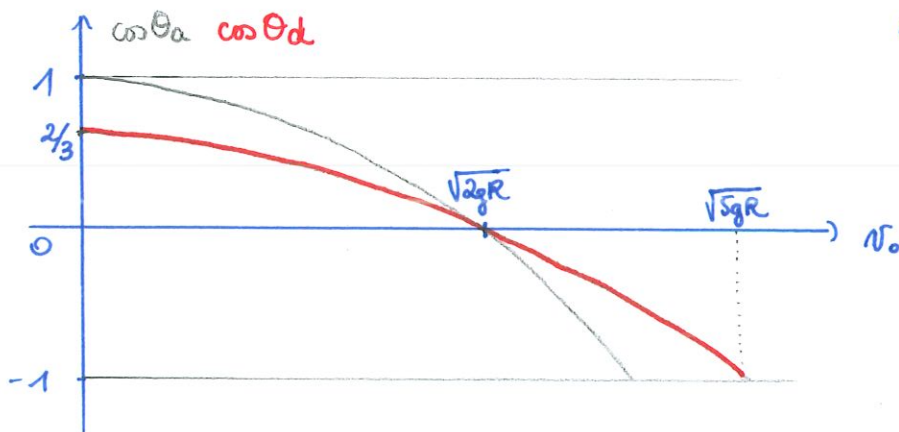
$$\text{Or d'après (*), } \dot{\theta}^2 = \frac{v_0^2}{R^2} - \frac{2g}{R}(1-\cos \theta)$$

$$\text{D'où } R_N = m \frac{v_0^2}{R} - mg(2 - 3\cos \theta)$$

La bille décolle du guide lorsque  $R_N$  s'annule :

$$R_N = 0 \Leftrightarrow \cos \theta_d = \frac{2}{3} - \frac{v_0^2}{3gR}$$

2.



Les deux courbes s'annulent pour  $v_0 = \sqrt{2gR}$ .

3. Il faut comparer  $\cos \theta_a$  à  $\cos \theta_d$ . Pour une valeur de  $v_0$  donnée, il faut déterminer si la bille s'arrête en premier ou si elle décolle du guide.

\* pour  $v_0 < \sqrt{2gR}$  :  $\cos \theta_a > \cos \theta_d$  donc  $\theta_a < \theta_d < \frac{\pi}{2}$

La bille s'arrête et fait demi-tour (sans avoir atteint B) sans quitter le guide.

\* pour  $v_0 = \sqrt{2gR}$  :  $\cos \theta_a = \cos \theta_d = 0$  donc  $\theta_a = \theta_d = \frac{\pi}{2}$

La bille s'arrête en B et fait demi-tour. C'est en B que la réaction  $R_N$  s'annule.

\* pour  $v_0 \in [\sqrt{2gR}, \sqrt{5gR}]$  :  $\cos \theta_a < \cos \theta_d$  donc  $\theta_a > \theta_d > \frac{\pi}{2}$

La bille quitte le guide entre B et le sommet (sans que la réaction  $R_N$  s'annule).

\* pour  $v_0 > \sqrt{5gR}$  :  $\cos \theta_a$  et  $\cos \theta_d$  ne sont plus définis. La bille ne s'arrête pas et ne décolle pas : elle fait un tour complet.

4. Dans le PFD, il faut ajouter la force  $\vec{R}_T$  de frottements solides.

D'après les lois de Coulomb, tant que  $\vec{v}$  (ou  $\dot{\theta}$ ) ne s'annule pas,  $\|\vec{R}_T\| = \mu \|\vec{R}_N\|$   
ainsi  $\vec{R}_T = -\mu R_N \vec{e}_\theta$  (tant que  $\dot{\theta} > 0$ )

Le PFD s'écrit alors :  $m\vec{a} = \vec{P} + \vec{R}_N + \vec{R}_T$

et projeté dans  $(\vec{e}_r, \vec{e}_\theta)$  : 
$$\begin{cases} -mR\ddot{\theta}^2 = -R_N + mg\cos\theta & (*) \\ mR\ddot{\theta} = -\mu R_N - mg\sin\theta & (** \end{cases}$$

En combinant  $(**)$  et  $(*)$  :

$$\begin{aligned} mR\ddot{\theta} + mR\mu\dot{\theta}^2 &= -mg\sin\theta - \mu mg\cos\theta \\ \Rightarrow \ddot{\theta} + \mu\dot{\theta}^2 &= -\frac{g}{R}\sin\theta - \frac{g}{R}\mu\cos\theta \end{aligned}$$

5. On pose  $\dot{\theta}^2 = f(\theta)$

$$\text{alors } \frac{df}{dt} = \frac{d}{dt}(\dot{\theta}^2) = 2\dot{\theta}\ddot{\theta} = \frac{df}{d\theta} \cdot \frac{d\theta}{dt} = \dot{\theta} \frac{df}{d\theta} \Rightarrow \frac{df}{d\theta} = 2\ddot{\theta}$$

Ainsi l'équation devient :  $\frac{1}{2} \frac{df}{d\theta} + \mu f(\theta) = -\frac{g}{R}\sin\theta - \frac{g}{R}\mu\cos\theta$

$$\Rightarrow \frac{df}{d\theta} + \alpha f(\theta) = \beta \cos\theta + \gamma \sin\theta$$

$$\begin{aligned} \text{où } \alpha &= 2\mu \\ \beta &= -\frac{2gu}{R} \\ \gamma &= -\frac{g}{R} \end{aligned}$$

C'est une équation du premier ordre à coefficients constants !

$$f(\theta) = \underbrace{\lambda e^{-\alpha\theta}}_{\text{solution de l'éq homogène associée}} + f_p(\theta)$$

$\uparrow$  solution particulière

où  $\lambda$  = const d'intégration

On cherche  $f_p(\theta)$  sous la forme :  $f_p(\theta) = A \cos\theta + B \sin\theta$ .

On réinjecte dans l'équation différentielle :

$$(-A\sin\theta + B\cos\theta) + \alpha(A\cos\theta + B\sin\theta) = \beta\cos\theta + \gamma\sin\theta$$

$$\text{ainsi : } (B + \alpha A) \cos \theta + (-A + \alpha B) \sin \theta = \beta \cos \theta + \gamma \sin \theta$$

Cette relation est vérifiée  $\forall \theta$ , donc :

$$\begin{cases} B + \alpha A = \beta \\ -A + \alpha B = \gamma \end{cases}$$

cela mène à

$$\begin{cases} B(1 + \alpha^2) = \beta + \alpha \gamma \\ A = \alpha B - \gamma \end{cases} \Leftrightarrow \begin{cases} B = \frac{\beta + \alpha \gamma}{1 + \alpha^2} \\ A = \frac{\alpha \beta + \alpha^2 \gamma}{1 + \alpha^2} - \gamma = \frac{\alpha \beta - \gamma}{1 + \alpha^2} \end{cases}$$

Finalement

$$\begin{cases} A = \frac{-4g\mu^2/R + 2g/R}{1 + 4\mu^2} = \frac{2g}{R} \cdot \frac{1 - 2\mu^2}{1 + 4\mu^2} \\ B = \frac{-2g\mu/R - 4g\mu^2/R}{1 + 4\mu^2} = \frac{2g}{R} \cdot \frac{-3\mu}{1 + 4\mu^2} \end{cases}$$

Pour finir la résolution, il reste à déterminer  $\lambda$  la constante d'intégration à l'aide des conditions initiales.

$$\text{En } \theta=0, f(0) = \dot{\theta}^2(0) = \frac{V_0^2}{R^2}$$

$$\text{or } f(0) = \lambda e^{-\alpha \cdot 0} + f_p(0) = \lambda + A$$

$$\text{D'où } \lambda + A = \frac{V_0^2}{R^2} \Leftrightarrow \lambda = \frac{V_0^2}{R^2} - A$$

En conclusion, la solution à l'équation différentielle donne :

$$\dot{\theta}^2 = \left( \frac{V_0^2}{R^2} - A \right) e^{-2\mu\theta} + A \cos \theta + B \sin \theta$$

6. Entre A et B,  $R_N > 0$  car (\*) donne :  $R_N = \underbrace{m R \dot{\theta}^2}_{\geq 0} + \underbrace{mg \cos \theta}_{> 0} \text{ pour } \theta \in [0, \frac{\pi}{2}]$

Ainsi, il ne peut y avoir de décollage de la bille avant d'atteindre B.

Dans le cas limite où la bille atteint B sans le dépasser :  $\dot{\theta} = 0$  quand  $\theta = \frac{\pi}{2}$

cela donne d'après la question précédente :  $\left( \frac{V_0^2}{R^2} - A \right) e^{-2\mu \cdot \frac{\pi}{2}} + A \cos \left( \frac{\pi}{2} \right) + B \sin \left( \frac{\pi}{2} \right) = 0$

$$\text{donc } \left( \frac{V_0^2}{R^2} - A \right) e^{-\mu\pi} + B = 0 \Leftrightarrow \frac{V_0^2}{R^2} = A - B e^{\mu\pi}$$

Donc pour atteindre B, il faut  $V_0 > R \sqrt{A - B e^{\mu\pi}}$

AN :  $\frac{V_0^{(\text{lim})}}{V_0^{(\text{lim})}} = 5,88 \text{ m.s}^{-1}$  (avec frott.)  
 $\frac{V_0^{(\text{lim})}}{V_0^{(\text{lim})}} = 4,43 \text{ m.s}^{-1}$  (sans)

## Exercice 10

1. Réf : terrestre galiléen

Syst : masse  $m$

Bilan des forces : poids  $\vec{P} = m\vec{g}$

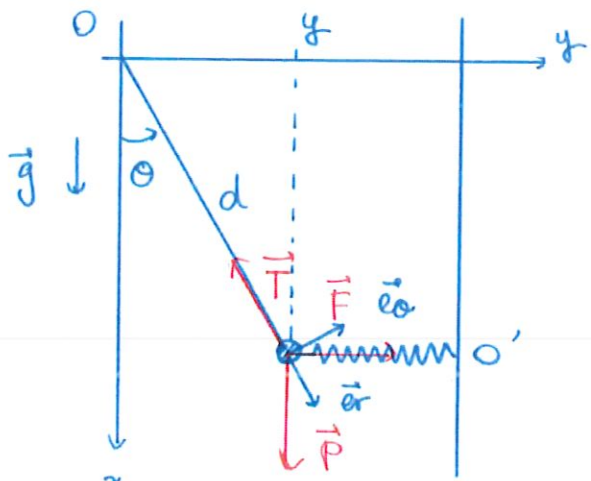
- étatua du ressort

$$\vec{F} = -k(l-l_0)\vec{e}_y$$

$$\text{or } l = l_0 - y$$

$$\text{d'où } \vec{F} = -ky\vec{e}_y$$

- tension  $\vec{T}$  de la tige.



On projette dans la base  $(\vec{e}_r, \vec{e}_o)$  :

$$\vec{T} = -T\vec{e}_r$$

$$\vec{P} = mg \cos \theta \vec{e}_r - mg \sin \theta \vec{e}_o$$

$$\vec{F} = -ky\vec{e}_y \quad \text{or} \quad \vec{e}_y = \cos \theta \vec{e}_o + \sin \theta \vec{e}_r \quad \begin{matrix} \text{à vérifier dans le} \\ \text{cas général!} \end{matrix}$$

et  $y = d \sin \theta$

$$\text{d'où } \vec{F} = -kd \sin \theta (\cos \theta \vec{e}_o + \sin \theta \vec{e}_r)$$

2. On applique le principe fondamental de la dynamique :

$$m\vec{a} = \vec{P} + \vec{T} + \vec{F}$$

en projetant selon  $\vec{e}_r$  et  $\vec{e}_\theta$  l'accélération :

$$\vec{\omega} = d\vec{e}_r \Rightarrow \vec{\omega} = d\dot{\theta}\vec{e}_\theta$$

et  $\vec{\alpha} = -d\dot{\theta}^2\vec{e}_r + d\ddot{\theta}\vec{e}_\theta$

Donc le PFD projeté :  $\begin{cases} \text{selon } \vec{e}_r : -md\dot{\theta}^2 = mg\cos\theta - kd\sin^2\theta - T \quad (*) \\ \text{selon } \vec{e}_\theta : md\ddot{\theta} = -mg\sin\theta - kd\sin\theta\cos\theta \quad (**) \end{cases}$

L'équation  $(**)$  donne :  $\ddot{\theta} = -\frac{g}{d}\sin\theta - \frac{k}{m}\sin\theta\cos\theta$

en posant  $\omega_2^2 = \frac{g}{d}$  et  $\omega_1^2 = \frac{k}{m}$  on trouve :

$$\ddot{\theta} + \sin\theta (\omega_1^2 \cos\theta + \omega_2^2) = 0$$

3. Comme  $\vec{P}$  et  $\vec{F}$  sont des forces conservatives et  $\vec{T}$  ne travaille pas, le système est conservatif et son énergie mécanique se conserve.

Réthode 1 : Comme  $E_{pp} = -\cancel{mgx} + K$  attention car axe des x descendante  
chain égal à 0

et  $E_{pe} = \frac{1}{2}k y^2 + K'$  chain égal à 0

et  $x = d\cos\theta$ ,  $y = d\sin\theta$ , on trouve :

$$\begin{aligned} E_p &= E_{pp} + E_{pe} = -mgd\cos\theta + \frac{1}{2}k(d\sin\theta)^2 \\ &= md^2 \left( \frac{k}{2m}\sin^2\theta - \frac{g}{d}\cos\theta \right) \\ &= md^2 \left( \frac{\omega_1^2}{2}\sin^2\theta - \omega_2^2 \cos\theta \right) \end{aligned}$$

Réthode 2 : Comme le déplacement élémentaire est

$$d\vec{r} = dr\vec{e}_r + r d\theta \vec{e}_\theta = dx \vec{e}_r + dy \vec{e}_\theta \quad \text{car } r = d = \text{cote}$$

car  $dr = 0$  (pas de déplacement selon  $\vec{e}_r$ )

D'où le travail des forces conservatives est :

$$\delta W = (\vec{P} + \vec{F}) \cdot d\vec{\Omega}$$

$$= [mg \cos \theta \hat{e}_r - mg \sin \theta \hat{e}_{\theta} - kd \sin \theta (\cos \theta \hat{e}_{\theta} + \sin \theta \hat{e}_r)] \cdot d \cdot d\theta \hat{e}_{\theta}$$

$$= -mg d \sin \theta d\theta - kd^2 \sin \theta \cos \theta d\theta$$

$$\text{or } \sin \theta d\theta = -d[\cos \theta] \quad \text{et} \quad \sin \theta \cos \theta d\theta = d\left[\frac{\sin^2 \theta}{2}\right]$$

$$\text{car } \frac{d}{d\theta}(\sin^2 \theta) = 2 \sin \theta \cos \theta$$

$$\text{d'où } \delta W = d[mgd \cos \theta] - d\left[\frac{kd^2}{2} \sin^2 \theta\right]$$

$$= -d\left[\frac{kd^2}{2} \sin^2 \theta - mgd \cos \theta\right]$$

$$\text{or } \delta W = -dE_p$$

$$\begin{aligned} \text{D'où } E_p &= \frac{kd^2}{2} \sin^2 \theta - mgd \cos \theta + K \quad \text{ou chiant' = 0} \\ &= md^2 \left[ \frac{k}{2m} \sin^2 \theta - \frac{g}{d} \cos \theta \right] \\ &= \underline{md^2 \left[ \frac{\omega_1^2}{2} \sin^2 \theta - \omega_2^2 \cos \theta \right]} \end{aligned}$$

4. Les positions d'équilibre sont les positions  $\theta$  telles que  $\frac{dE_p}{d\theta} = 0$

$$\begin{aligned} \text{Or } \frac{dE_p}{d\theta} &= md^2 \left( \omega_1^2 \cdot \sin \theta \cos \theta + \omega_2^2 \sin \theta \right) \\ &= md^2 \sin \theta \left( \omega_1^2 \cos \theta + \omega_2^2 \right) \end{aligned}$$

$$\frac{dE_p}{d\theta} = 0 \iff \begin{cases} \sin \theta = 0 & (*) \\ \text{ou} \\ \omega_1^2 \cos \theta + \omega_2^2 = 0 & (** \end{cases}$$

(\*) donne comme positions d'équilibre  $\underline{\theta = 0}$  ou  $\underline{\theta = \pi}$

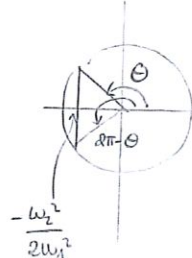
(\*\*) n'est possible que si  $\cos\theta$  est bien entre -1 et 1

$$\text{donc } \cos\theta = -\frac{\omega_2^2}{\omega_1^2} > -1 \Leftrightarrow \underline{\omega_2^2 < \omega_1^2}$$

Si la condition est vérifiée, alors il y a deux positions d'équilibres supplémentaires :

$$\underline{\Theta = \arccos\left(-\frac{\omega_2^2}{\omega_1^2}\right) \in \left[\frac{\pi}{2}, \pi\right]}$$

$$\text{et } \underline{\Theta = 2\pi - \arccos\left(-\frac{\omega_2^2}{\omega_1^2}\right) \in \left[\pi, \frac{3\pi}{2}\right]}$$



5. Déterminons le signe de  $\frac{d^2E_p}{d\theta^2}$  pour  $\theta=0$ :

$$\frac{d^2E_p}{d\theta^2} = m d^2 \cos\theta (\omega_1^2 \cos\theta + \omega_2^2) + m d^2 \sin\theta (-\omega_1^2 \sin\theta)$$

$$\text{par } \theta=0 : \frac{d^2E_p}{d\theta^2}(0) = m d^2 (\omega_1^2 + \omega_2^2) > 0$$

D'où la position  $\Theta=0$  est un équilibre stable.

Méthode 1: Autour de  $\Theta_0 = 0$ ,  $E_p$  s'écrit :

$$E_p(\theta) = E_p(0) + \frac{1}{2} \cdot \underbrace{(\theta - \Theta_0)^2}_0 \text{ où } K = \frac{d^2E_p}{d\theta^2}(0)$$

et, comme  $E_m = \text{cste} \Rightarrow \frac{dE_m}{dt} = 0$ :

$$\begin{aligned} \frac{dE_m}{dt} &= \frac{d}{dt} [E_c + E_p] = \frac{d}{dt} \left( \frac{1}{2} m (\dot{\theta})^2 \right) + \frac{d}{dt} \left( E_p(0) + \frac{1}{2} K (\theta - \Theta_0)^2 \right) \\ &= m d^2 \ddot{\theta} \dot{\theta} + K \dot{\theta} \end{aligned}$$

$$\text{et } \frac{dE_m}{dt} = 0 \Leftrightarrow \ddot{\theta} + \frac{K}{m d^2} \theta = 0$$

$$\Leftrightarrow \underline{\ddot{\theta} + \Omega^2 \theta = 0} \quad \text{où } \underline{\Omega^2 = \frac{K}{m d^2} = \omega_1^2 + \omega_2^2}$$

Méthode 2 : Prenons l'équation du mouvement de la question 2 et développons autour de  $\Theta_{\text{eq}} = 0$  :

$$\text{alors } \sin \theta \approx \theta \text{ et } \cos \theta \approx 1$$

$$\text{et on obtient } \ddot{\theta} + \Theta (\omega_1^2 + \omega_2^2) = 0$$

on retrouve le même résultat !

Rq: de manière plus rigoureuse, cela revient à faire un développement limité à l'ordre 1 de  $\sin \theta$  et  $\cos \theta$  autour de  $\Theta_{\text{eq}} = 0$ .

6. Reprenons l'expression de  $\frac{d^2 E_p}{d\theta^2}$  et évaluons son signe pour  $\theta = \pi$ :

$$\frac{d^2 E_p}{d\theta^2} (\theta = \pi) = md^2 (-1) (-\omega_1^2 + \omega_2^2)$$

Donc si  $\omega_1^2 > \omega_2^2$  alors  $\frac{d^2 E_p}{d\theta^2} > 0$ ,  $\Theta_{\text{eq}} = \pi$  est stable

si  $\omega_1^2 < \omega_2^2$  alors  $\frac{d^2 E_p}{d\theta^2} < 0$ ,  $\Theta_{\text{eq}} = \pi$  est instable

Comparer  $\omega_1^2$  et  $\omega_2^2$  revient à comparer la contribution de la force du ressort ( $\omega_1^2$ ) à celle de la pesanteur ( $\omega_2^2$ ). En  $\Theta_{\text{eq}} = \pi$ , le ressort est au repos (minimum d'énergie potentielle élastique) alors que le pendule est à l'envers (maximum d'énergie potentielle de pesanteur). Si la force de rappel (due à la raideur du ressort) est suffisamment grande pour contrer l'influence de la pesanteur à ramener la masse vers le bas,  $\Theta_{\text{eq}}$  reste stable. Cela se traduit par  $\frac{k}{m} > \frac{g}{l}$   
 $\Leftrightarrow k > \frac{mg}{l}$

7. Dans le cas où la position  $\Theta_{\text{eq}} = \pi$  est stable, alors

$$\frac{d^2 E_p}{d\theta^2} (\theta = \pi) = md^2 (\omega_1^2 - \omega_2^2)$$

en refaisant le même raisonnement qu'à la question 5, en remplaçant  $k'$  par  $k' = md^2 (\omega_1^2 - \omega_2^2)$ , on trouve:

$$\ddot{\Theta} + \Omega'^2 \Theta = 0 \quad \text{avec} \quad \Omega'^2 = \omega_1^2 - \omega_2^2$$

$$\Rightarrow \Omega' = \sqrt{\omega_1^2 - \omega_2^2}$$

Rq: on aurait pu de nouveau développer autour de  $\Theta_{\text{eq}} = \pi$  l'équation du mouvement. En posant  $\Theta = \Theta_{\text{eq}} + \varepsilon(t)$ ,  $\varepsilon \ll \Theta_{\text{eq}}$ , on a :

$$\cos(\Theta_{\text{eq}} + \varepsilon) \approx -1 \text{ à l'ordre } 1$$

$$\sin(\Theta_{\text{eq}} + \varepsilon) \approx \varepsilon \text{ à l'ordre } 1$$

$$\ddot{\Theta} = \ddot{\varepsilon} \text{ car } \frac{d^2}{dt^2}(\Theta_{\text{eq}} + \varepsilon) = \frac{d^2\varepsilon}{dt^2}$$

$$\text{d'où } \ddot{\varepsilon} + \varepsilon(-\omega_1^2 + \omega_2^2) = 0$$

8. Pour que les deux dernières positions d'équilibres existent, il faut

$$\omega_1^2 > \omega_2^2 \text{ et alors } \left\{ \begin{array}{l} \Theta_{\text{eq}1} = \arccos\left(-\frac{\omega_2^2}{\omega_1^2}\right) \\ \Theta_{\text{eq}2} = 2\pi - \arccos\left(-\frac{\omega_2^2}{\omega_1^2}\right) \end{array} \right.$$

$$\text{Or } \frac{d^2 E_p}{d\Theta^2}(\Theta_{\text{eq}1}) = md^2 \cos \Theta_{\text{eq}1} \left( \omega_1^2 \cos \Theta_{\text{eq}1} + \omega_2^2 \right) - md^2 \omega_1^2 \sin^2 \Theta_{\text{eq}1}$$

$$\text{et } \cos \Theta_{\text{eq}1} = -\frac{\omega_2^2}{\omega_1^2}$$

$$\text{et } \omega_1^2 \cos \Theta_{\text{eq}1} + \omega_2^2 = \omega_1^2 \left(-\frac{\omega_2^2}{\omega_1^2}\right) + \omega_2^2 = 0$$

$$\text{d'où } \frac{d^2 E_p}{d\Theta^2}(\Theta_{\text{eq}1}) = -md^2 \omega_1^2 \sin^2(\Theta_{\text{eq}1}) < 0$$

La position  $\Theta_{\text{eq}1}$  est donc une position d'équilibre instable

Le calcul avec  $\Theta_{\text{eq}2}$  mène au même résultat et donc à la même conclusion.